



## Identification and zoning of landslide prone areas using object-oriented method and network analysis (ANP)

### (Case study: Shahroudchai catchment area of Khalkhal city)

Siran Bahmani <sup>a\*</sup>, Zahra Zanganeh Tabar <sup>b</sup>, Sara Mohammadi <sup>c</sup>, Sara Matai <sup>d</sup>

<sup>a</sup> Master in Hydrogeomorphology, University of Tabriz, Iran

<sup>b</sup> PhD Student in Geomorphology, University of Tabriz, Iran

<sup>c</sup> PhD Student in Geomorphology, Kharazmi University, Tehran, Iran

<sup>d</sup> PhD Student in Geomorphology, University of Tabriz, Iran

Received: 4 April 2021

Revise: 10 June 2021

Accepted: 20 June 2021

### Abstract

Mass movements, especially landslides, are among the most dangerous and harmful environmental hazards that have accelerated in recent decades along with human manipulation of natural systems. The aim of this study was to evaluate the efficiency of Sentinel 2A object-oriented image processing technique in identifying, detecting and zoning landslides in Shahroudchai catchment area of Khalkhal city. For this reason, landslides occurred in the region were first identified using object-oriented processing and then the study area was zoned in terms of landslide risk using the network analysis (ANP) method. Elevation, slope, flow direction, vegetation index and Sentinel 2A image were used to extract landslides; Field studies have shown that the existing landslides (81 landslides) in the region have been identified and extracted with 94% accuracy and 91% kappa coefficient by object-oriented method. This indicates the high ability of object-oriented processing to identify areas prone to landslides. Then, using network analysis method and using 11 parameters of elevation, slope, slope direction, land use, geology, slope length index (LS), topographic moisture index (TWI), canal power index (SPI), distance from fault Distance from the road and distance from the waterway, zoning of the study area in terms of landslide risk was done that according to the results, 39.13% of the lands in the study area have a very high potential for landslides. Also, a significant percentage of landslides are in the high-sensitivity class of 50 landslides (61.72). Therefore, it can be said that the accuracy of the model used in landslide susceptibility zoning is acceptable and good.

**Keywords:** Landslide, GLCM, Shahroud Chai, Object Oriented Processing, Network Analysis

\*. Corresponding author: Siran Bahmani      E-mail: Sbahmani910@gmail.com    Tel: + 989361178171

**How to cite this Article:** Bahmani,S., Zanganeh Tabar, Z., Mohammadi, S., Mataee, S. (2021). Identification and zoning of landslide prone areas using object-oriented method and network analysis (ANP) (Case study: Shahroudchai catchment area of Khalkhal city). *Journal of Geography and Environmental Hazards*, 10(3), 39-58.

doi: 10.22067/geoh.2021.67924.1006



Journal of Geography and Environmental Hazards are fully compliant with open access mandates, by publishing its articles under Creative Commons Attribution 4.0 International License (CC BY 4.0).



Creative Commons Attribution 4.0 International License (CC BY 4.0)



## Geography and Environmental Hazards

Volume 10, Issue 3 - Number 39, Fall 2021

<https://geoeh.um.ac.ir>

DOI: <https://dx.doi.org/10.22067/geoeh.2021.67924.1006>

جغرافیا و مخاطرات محیطی، سال دهم، شماره سی و نهم، پاییز ۱۴۰۰ صص ۳۹-۵۸

مقاله پژوهشی

### شناسایی و پهنه‌بندی مناطق مستعد زمین‌لغزش با استفاده از روش شیء‌گرا و تحلیل شبکه (ANP) (مطالعه موردنی: حوضه آبریز شهرودچایی شهرستان خلخال)

سیران بهمنی<sup>۱</sup>- کارشناس ارشد هیدرولوژی‌مورفولوژی، دانشگاه تبریز، تبریز، ایران.

زهرا زنگنه تبار- دانشجوی دکتری ژئومورفولوژی، دانشگاه تبریز، تبریز، ایران.

سارا محمدی- دانشجوی دکتری ژئومورفولوژی، دانشگاه خوارزمی، تهران، ایران.

سارا مطاعی- دانشجوی دکتری ژئومورفولوژی، دانشگاه تبریز، تبریز، ایران.

تاریخ دریافت: ۱۴۰۰/۱/۱۵      تاریخ بازنگری: ۱۴۰۰/۳/۲۰      تاریخ تصویب: ۱۴۰۰/۳/۳۰

#### چکیده

حرکت‌های دامنه‌ای به‌ویژه زمین‌لغزش در زمرة پرخطرترین و زیان‌بارترین مخاطرات محیطی است که همگام با دست‌کاری بشر در سیستم‌های طبیعی در دهه‌های اخیر شتاب فزاینده‌ای یافته است. پژوهش حاضر با هدف ارزیابی میزان کارایی تکنیک پردازش شیء‌گرای تصاویر ماهواره‌ای ستینل 2A در شناسایی، آشکارسازی و پهنه‌بندی خطر وقوع زمین‌لغزش‌ها در حوضه آبریز شهرودچایی شهرستان خلخال صورت گرفت. به همین دلیل ابتدا با استفاده از پردازش شیء‌گرا زمین‌لغزش‌های رخداده در منطقه شناسایی گردیدند و سپس با استفاده از روش تحلیل شبکه (ANP) منطقه موردمطالعه از نظر خطر وقوع زمین‌لغزش پهنه‌بندی گردید. جهت استخراج زمین‌لغزش‌ها از لایه ارتفاع، شیب، جهت جريان، شاخص پوشش گیاهی و تصویر ستینل 2A استفاده گردید؛ با بررسی‌های میدانی صورت گرفته مشخص گردید

Email: Sbahmani910@gmail.com

۱. نویسنده مسئول: ۰۹۳۶۱۱۷۸۱۷۱

نحوه ارجاع به این مقاله:

بهمنی، سیران، زنگنه تبار، زهرا، محمدی، سارا، مطاعی، سارا. (۱۴۰۰). شناسایی و پهنه‌بندی مناطق مستعد زمین‌لغزش با استفاده از روش شیء‌گرا و تحلیل شبکه (ANP) (مطالعه موردنی: حوضه آبریز شهرودچایی شهرستان خلخال). جغرافیا و مخاطرات محیطی، ۱۰(۳)، صص ۳۹-۵۸.

<https://dx.doi.org/10.22067/geoeh.2021.67924.1006>

که زمین‌لغزش‌های موجود (۸۱ زمین‌لغزش) در منطقه با دقت ۹۴ درصد و ضریب کاپای ۹۱ درصد با روش شیء‌گرا شناسایی و استخراج گردیده‌اند که نشان‌دهنده توانایی بالای پردازش شیء‌گرا در شناسایی مناطق مستعد زمین‌لغزش است. در ادامه با استفاده از روش تحلیل شبکه و به کارگیری ۱۱ پارامتر ارتفاع، شبیت زمین، جهت شبیت، کاربری زمین، زمین‌شناسی، شاخص طول شبیت (LS)، شاخص رطوبت توپوگرافیک (TWI)، شاخص قدرت آبراهه (SPI)، فاصله از گسل، فاصله از جاده و فاصله از آبراهه، پهنه‌بندي منطقه موردمطالعه از نظر خطر وقوع زمین‌لغزش انجام گرفت که با توجه به نتایج به دست آمده ۳۹/۱۳ درصد از اراضی محدوده موردمطالعه از پتانسیل بسیار بالایی برای وقوع زمین‌لغزش برخوردار می‌باشد. همچنین، درصد قابل توجهی از زمین‌لغزش‌ها در طبقه با حساسیت زیاد تعداد ۵۰ زمین‌لغزش (۶۱/۷۲) قرار دارند؛ لذا می‌توان گفت دقت مدل بکار رفته در پهنه‌بندي حساسیت وقوع زمین‌لغزش قابل قبول و خوب است.

**کلیدواژه‌ها:** زمین‌لغزش، GLCM، شاهرود چایی، پردازش شیء‌گرا، تحلیل شبکه.

#### ۱- مقدمه

در حوضه‌های مناطق کوهستانی جهت اجرای طرح‌های مربوط به عمران آب و مدیریت محیط و توسعه شبکه‌های ارتباطی و توسعه مراکز و تأسیسات صنعتی و سکونتگاهی آنچه قبل از انجام هر پروژه‌ای ضرورت دارد، شناسایی خطرات مربوط به حرکات مواد در سطح زمین است. از جمله وقوع پدیده‌های ژئومورفولوژیک همچون زمین‌لغزش، فراهم آوردن نقشه خطر وقوع و پهنه‌بندي آن را می‌طلبد تا مشکلاتی نظیر آسیب‌های واردۀ بر زیرساخت‌های اقتصادی، صنعتی و کشاورزی تکرار نشود (روستایی و علیزاده، ۱۳۹۱). حرکت‌های دامنه‌ای و بهویژه زمین‌لغزش در زمرة پرخطرترین و زیان‌بارترین مخاطرات محیطی است که همگام با دستکاری بشر در سیستم‌های طبیعی در دهه اخیر شتاب فزاینده‌ای یافته است (شادفر، ۱۳۸۴). مخاطرات ناشی از انواع فرم‌های زمین‌لغزش همه‌ساله منجر به خسارات جانی و مالی در سراسر جهان می‌شود (عبدینی و طولانی، ۲۰۱۸).

زمین‌لغزش یکی از فرآیندهای ژئومورفیک تأثیرگذار بر تکامل چشم‌انداز مناطق کوهستانی است (روئرینگ و همکاران<sup>۱</sup>، ۲۰۰۵). وقوع زمین‌لغزش اثرات زیادی را در مقیاس محلی و جهانی در اقتصاد داشته و همه‌ساله هزاران نفر در سرتاسر جهان زندگی‌شان را به خاطر زمین‌لغزش از دست می‌دهند (یالچین<sup>۲</sup>، ۲۰۱۱). زمین‌لغزش‌ها زندگی انسان‌ها را با تخرب محیط، منابع و دارایی آن‌ها با خطر جدی روبرو می‌کنند (سان‌وی و همکاران<sup>۳</sup>، ۲۰۱۲). در مقایسه با انواع مخاطرات طبیعی همچون آتش‌نشان و سیل، زمین‌لغزش آسیب‌های قابل توجهی را به جهت مالی و

۱ Abedini & Tulabi

۲ Roering et al

۳ Yalcin

۴ Sanwei et al

جانی منجر می‌شود (گوزتی<sup>۱</sup>، ۲۰۰۵)؛ به طوری که زمین‌لغزش ۹٪ از کل بلایای طبیعی را در دهه گذشته شامل شده و این آهنگ رو به رشد در دهه‌های آتی ادامه دارد (یilmaz<sup>۲</sup>، ۲۰۰۹). ایران با توپوگرافی عمدهاً کوهستانی، فعالیت زمین‌ساختی و لرزه‌خیزی زیاد، شرایط متنوع اقلیمی و زمین‌شناسی، عمده شرایط طبیعی را برای ایجاد طیف وسیعی از لغزش‌ها داراست؛ بنابراین به همان اندازه که از موهبت کوهستانی بودن و تنوع آب و هوایی بهره‌مند هستیم در معرض خطرات ناشی از آن نیز قرار داریم (نصیری، ۱۳۸۳). زمین‌لغزش در ایران نیز به عنوان یک بلای طبیعی، سالیانه خسارات فراوانی به کشور وارد می‌سازد. بر اساس یک برآورد اولیه، سالیانه ۵۰۰ میلیارد ریال خسارت‌های مالی از طریق لغزش زمین‌ها بر کشور تحمیل می‌شود (نادری به نقل از رostami، ۱۳۹۸). در ایران به دلیل تعدد توپوگرافی کوهستانی، فعالیت‌های دوره‌ای زمین‌ساختی و لرزه‌خیزی زیاد، تنوع اقلیمی و زمین‌شناسی، افزایش جمعیت و فشار بی‌رویه بر منابع طبیعی و تغییرات کاربری در دهه‌های اخیر، شرایطی طبیعی برای بروز طیف گسترده‌ای از خطرات زمین‌لغزش‌ها فراهم می‌باشد (یمانی و همکاران، ۱۳۹۱). شهرستان خلخال نیز به لحاظ وضعیت منطقه مانند توپوگرافی، شبیه زیاد، مواد سطحی سست بر روی سازندهای مقاوم و شرایط اقلیمی از پتانسیل بالایی برای وقوع لغزش برخوردار است؛ بنابراین مطالعه عوامل مؤثر در وقوع زمین‌لغزش و پهنه‌بندی جهت ارائه راه حل جهت کنترل لغزش ضروری به نظر می‌رسد. از جمله مطالعاتی که در رابطه با شناسایی و استخراج زمین‌لغزش‌ها با استفاده از تکنیک‌های سنجش از دور به ویژه پردازش شیء‌گرای تصاویر ماهواره‌ای و همچنین پهنه‌بندی زمین‌لغزش صورت گرفته است، می‌توان به موارد زیر اشاره نمود:

مارتا و همکاران<sup>۳</sup> (۲۰۱۰) اقدام به آشکارسازی و شناسایی زمین‌لغزش‌ها با استفاده از روش شیء‌گرای نمودند. به همین منظور منطقه‌ای با مساحت ۸۱ کیلومتر مربع در بخشی از حوضه آبریز رودخانه مندакینی<sup>۴</sup> هیمالیا در پیرامون شهر اوخیمات<sup>۵</sup> ایالت اوتاراخند<sup>۶</sup> هند برای این مطالعه انتخاب شد. نتایج این پژوهش نشان داد که استفاده از این روش سرعت بسیار بالایی در شناسایی زمین‌لغزش‌ها دارد و می‌تواند تجزیه و تحلیل وقوع مخاطرات و نحوه مواجه با آن و مدیریت بلایای طبیعی بعد از وقوع یک رخداد طبیعی همانند زلزله و یا یک بارندگی شدید را به خوبی انجام دهد و اثرات مخرب آن را تقلیل دهد.

هوبلینگ و همکاران<sup>۷</sup> (۲۰۱۴) به بررسی تغییرات زمین‌لغزش توسط روش شیء‌گرای در تایلند پرداخته‌اند. اساس کار این پژوهش ایجاد دستورات طبقه‌بندی مناسب جهت استخراج زمین‌لغزش با استفاده از ویژگی‌های طیفی

1 Guzzetti

2 Yilmaz

3 Martha & et al

4 Mandakini river

5 Okhimath

6 Uttarakhand

7 Hobling & et al

تصاویر و تفاوت ارزش پیکسلی جهت تفکیک آن‌ها می‌باشد. در این مطالعه یک روش مبتنی بر شیءگرای طبقه‌بندی جریان آوار و نیز تغییر زمین‌لغزش در شمال تایوان پیشنهاد گردید. زمین‌لغزش و مناطق آوار / حمل و نقل رسوبات ایجاد شده توسط دو توفان بزرگ، آئر و مستا<sup>۱</sup>، که عمدتاً بر اساس ویژگی‌های مورفولوژیکی متفاوت بودند، شناسایی گردید. این تغییرات با مقایسه مقادیر ویژگی اشیا تصویری ت تصاویر ماهواره اسپات سری پنج در قبل و بعد از رویداد مشخص شد.

کامرت<sup>۲</sup> و همکاران (۲۰۱۹)، در مطالعه خود، زمین‌لغزش‌های کم عمق در منطقه دریایی سیاه ترکیه را با استفاده از تجزیه و تحلیل شیءگرای تصاویر بررسی کردند. آن‌ها در این مطالعه از داده‌ها و عکس‌های هوایی تهیه شده با استفاده از هوایپیمای بدون سرنشین (UAV) استفاده کرد و زمین‌لغزش‌ها را با استفاده از رویکرد طبقه‌بندی مبتنی بر شیء استخراج نمودند. در این مطالعه، یک مدل نیمه اتوماتیک با استفاده از تجزیه و تحلیل تصویر مبتنی بر شیء برای نقشه‌برداری سریع زمین‌لغزش‌های کم عمق از داده‌های به دست آمده از پهپادها پس از حوادث عمدۀ رانش زمین در منطقه دریایی سیاه ترکیه ایجاد گردید. داده‌های لغزش به دست آمده با مدل‌های توسعه یافته با داده‌های میدانی لغزش مقایسه گردید. روند مقایسه نشان داد که زمین‌لغزش‌های استخراج شده با توجه به تعداد و پراکندگی مکانی زمین‌لغزش‌ها، دقت بیش از ۸۶٪ دارند.

عبدی قشلاقی و فیضی زاده<sup>۳</sup> (۲۰۱۷) با استفاده از روش ANP و منطق فازی، خطر زمین‌لغزش را در حوضه آذربایجان غربی ارزیابی کردند. در این مطالعه عوامل شیب، جهت شیب، ارتفاع، لیتوژوژی، کاربری، چگالی گیاه، بارش، فاصله از گسل، فاصله از جاده و فاصله از رودخانه به عنوان عوامل مؤثر در نظر گرفته شدند و ۲۳,۲۲ درصد از منطقه در طبقه پر خطر قرار گرفت.

فیضی زاده و بالاشک<sup>۴</sup> (۲۰۱۴)، به بررسی پدیده زمین‌لغزش با استفاده از روش نیمه اتوماتیک تصویر پایه در حوضه آبریز دریاچه ارومیه پرداختند. در این تحقیق از تصاویر با قدرت تفکیک مکانی بالای اسپات و IRS و ترکیب آن‌ها با مدل ارتفاع رقومی زمین و لایه‌های توپوگرافی شیب، جهت شیب و انحنای دامنه استفاده نمودند. دقت ارزیابی نتایج ۹۳,۰۷ درصد به دست آمد که بیانگر قابل اعتماد بودن نقشه نهایی زمین‌لغزش‌های به دست آمده هست؛ که این نشانگر قدرت بالای روش‌های شیءگرای تصویر پایه و کاربرد تصاویر ماهواره‌ای در ایجاد و پهنه‌بندی نقشه‌های زمین‌لغزش می‌باشد.

عبدی‌نی و پیروزی (۱۳۹۸) در مقاله‌ای به پهنه‌بندی خطر زمین‌لغزش با استفاده از تلفیق روش‌های Hot Spot، ANP و WIC در شهرستان خلخال پرداخته‌اند. در این پژوهش عوامل مؤثر لغزش در منطقه شناسایی و لایه‌های

۱ Aere &Matsa

2 Comert

3 Abedi Gheshlaghi & Feizizadeh

4 Feizizadeh & Blaschke

اطلاعاتی در سامانه اطلاعات جغرافیایی تهیه شده و در مرحله بعد وزن‌دهی عوامل موردنبررسی، با روش ANP و در محیط نرم‌افزار Super Decision انجام شده و تحلیل با روش تحلیل لکه‌های داغ به عنوان روش آمار فضایی و روش WIC به عنوان یکی از روش‌های تصمیم‌گیری چند معیاره صورت گرفته. نتایج نشان داد که عوامل شیب، کاربری اراضی، بارش و لیتوولوژی به ترتیب با ضریب وزنی  $0/639$ ،  $0/646$ ،  $0/663$  و  $0/379$  بیشترین تأثیر را در ایجاد زمین‌لغزش شهرستان خلخال دارند.

معزز و همکاران (۱۳۹۸) در مقاله‌ای به پهنه‌بندی خطر زمین‌لغزش در حوضه آبخیز نهنچای با استفاده از مدل ANP و تکنیک سامانه اطلاعات جغرافیایی پرداخته‌اند. لایه اطلاعاتی مربوط به ۸ فاکتور مؤثر در وقوع زمین‌لغزش شامل شیب، جهت شیب، ارتفاع، زمین‌لغزش، کاربری اراضی، فاصله از آبراهه، فاصله از گسل و بارش در سامانه اطلاعات جغرافیایی تهیه شده و در نرم‌افزار Super Decision وزن‌دهی صورت گرفته. نتایج این تحقیق نشان می‌دهد بیش از ۴۰ درصد از مساحت منطقه پتانسیل بالایی از نظر وقوع زمین‌لغزش را داراست که منطبق بر کاربری مرتع، حاشیه آبراهه‌ها و مناطق دارای سازند مارن است. ارزیابی دقت نقشه پهنه‌بندی تهیه شده از مدل ANP با نقاط لغزشی رخ داده در منطقه نشان می‌دهد که بیش از ۸۰ درصد لغزش‌ها در مناطق با خطر زیاد و خیلی زیاد اتفاق افتاده که نشان دهنده دقت خوب این مدل است.

عبدینی و همکاران (۱۳۹۷) در مقاله‌ای به شناسایی و طبقه‌بندی انواع زمین‌لغزش با استفاده از ویژگی‌های طیفی و مکانی با رویکرد شیء‌گرا در حوضه نصیرآباد تا سد ستارخان اهر پرداخته‌اند. داده‌های مورد استفاده در این پژوهش شامل تصاویر رنگی کاذب مستخرج از داده‌های ماهواره Resourcesat-1 با قدرت تفکیک مکانی ۵,۸ متر و مدل رقومی ارتفاع با قدرت تفکیک ۱۰ متری حاصل از تصاویر ۲,۵ متری ماهواره Cartosat استفاده گردیده است. ۷۰ درصد زمین‌لغزش‌ها برای اجرای مدل و ۳۰ درصد دیگر برای اعتبارسنجی به کاررفته است. نتایج نشان می‌دهد ۳۴/۰۲ درصد از اراضی محدوده مورد مطالعه به عنوان منطقه‌ای با پتانسیل خیلی زیاد و زیاد برای وقوع زمین‌لغزش در نظر گرفته شده‌اند و درصد قابل توجهی از لغزش‌ها در طبقه با حساسیت زیاد و خیلی زیاد  $57/05$  قرار دارند؛ و درمجموع ۳ لغزش با دقت شناسایی  $71,11$  درصد و دقت کلاس‌بندی  $91,4$  درصد تشخیص داده شده است و نشان دهنده این است که دقت مدل به کاررفته در پهنه‌بندی حساسیت وقوع زمین‌لغزش قابل قبول و خوب است. مددی و همکاران (۱۳۹۸)، پتانسیل وقوع زمین‌لغزش در حوضه آبریز کناریق چای را با استفاده از مدل تحلیل شبکه ANP، مورد مطالعه و ارزیابی قرار دادند. در همین راستا، ۱۰ عامل مؤثر در رخ داد زمین‌لغزش‌های حوضه آبریز کناریق چای شامل لیتوولوژی، کاربری اراضی، بارش، شیب، جهت شیب، فاصله از جاده، فاصله از گسل و فاصله از آبراهه، شاخص قدرت آبراهه (SPI) و شاخص حمل رسوب، شناسایی و مورد استفاده قرار گرفتند. نقشه نهایی نشان داد که پهنه‌های با خطر متوسط و خطر خیلی زیاد بیشترین مساحت حوضه را به خود اختصاص داده‌اند. تطبیق

سطوح لغزش یافته و پهنه‌های مواجه با خطر نشان می‌دهد که مناطقی که در رده خطر خیلی زیاد و متوسط قرار دارند دارای بیشترین مساحت از سطوح لغزشی هستند. به طوری که پهنه با خطر خیلی زیاد ۳۵ درصد (۷۹ کیلومترمربع) و پهنه با خطر زیاد ۳۲/۶ درصد (۷۲ کیلومترمربع) از زمین‌لغزش‌ها را به خود اختصاص داده‌اند؛ به عبارت دیگر بیش از ۷۷ درصد زمین‌لغزش‌ها با پهنه‌های خطر خیلی زیاد و متوسط مطابقت دارند. همچنین عوامل سنگ‌شناسی، شیب و فاصله از آبراهه بیشترین تأثیر را در موقع زمین‌لغزش داشته‌اند.

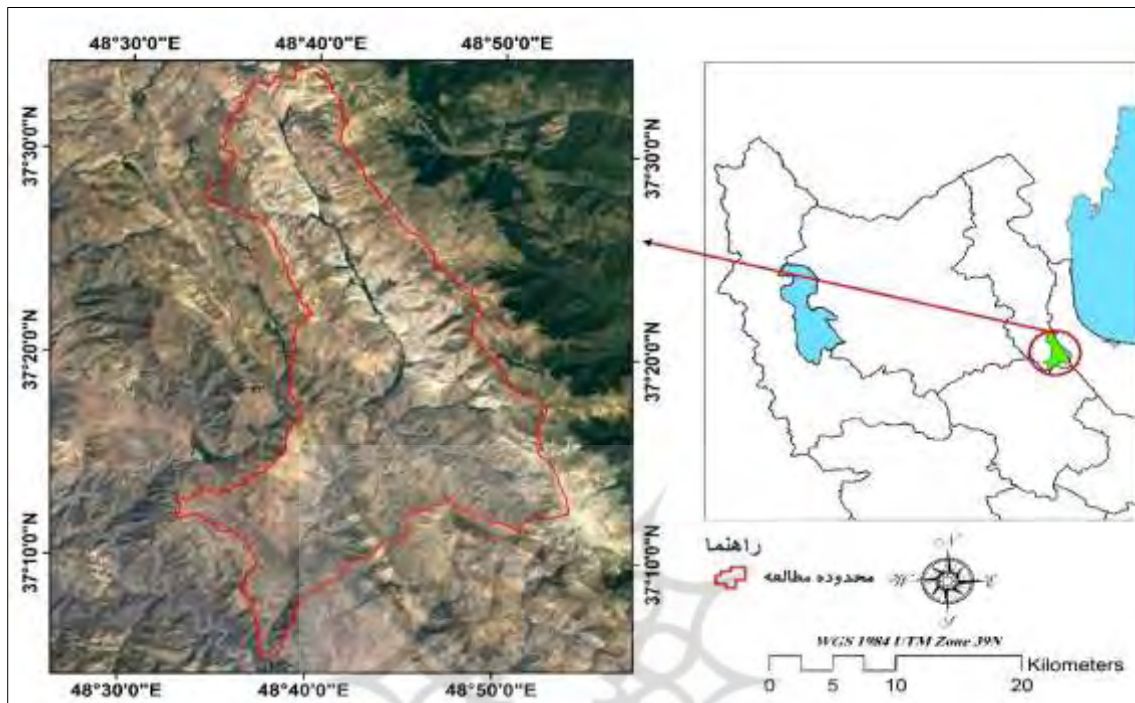
در تحقیقات ارائه شده، هر محقق یک جنبه از مخاطرات را مورد تأکید قرار داده و با یک روش خاص این موضوع را بررسی نموده است. بررسی این تحقیقات نشان می‌دهد که در هیچ‌کدام از مطالعات تلفیقی از روش پردازش شیء‌گرا و تحلیل شبکه (ANP) بکاربرده نشده و این می‌تواند از نقاط قوت این تحقیق نیز باشد. مخاطره زمین‌لغزش همواره موجب ایجاد خسارت‌هایی در سطح کشور بخصوص در نواحی کوهستانی شده و از طرفی بسیاری از دامنه‌ها در نواحی کوهستانی در شرایط ناپایداری قرار دارند و رخداد پدیده‌هایی همچون بارش و زلزله، دامنه‌های ناپایدار را مجبور به سقوط می‌نمایند به طوری که این حرکات دامنه‌ای در برخی مناطق موجب ایجاد تلفات و خسارات گسترده‌ای می‌گردد. از آنجایی که شهرستان خلخال نیز از این قضیه مستثنی نبوده و با توجه به اینکه حوضه آبریز شاهرود چایی واقع در شهرستان خلخال از جمله مناطقی است که به دلیل بارندگی نسبتاً فراوان و وجود سازنده‌های زمین‌شناسی مساعد، رویداد زمین‌لغزش‌های متعددی در آن گزارش شده است و مطالعه در خصوص این مخاطره در حوضه مورد نظر صورت نگرفته است؛ بنابراین تحقیق حاضر با هدف شناسایی و آشکارسازی زمین‌لغزش‌ها و همچنین پهنه‌بندی منطقه از نظر وقوع زمین‌لغزش با استفاده از تصاویر با قدرت تفکیک مکانی بالا و روش پردازش شیء‌گرای تصاویر ماهواره‌ای صورت می‌گیرد. هدف کلی تحقیق حاضر، تهیه نقشه وضعیت موجود زمین‌لغزش‌ها در کوتاه‌ترین زمان ممکن‌جهت پاسخگویی برای طرح‌های مدیریت بحران حاصل از مخاطرات محیطی با استفاده از جدیدترین تصاویر ماهواره‌ای و آماده‌سازی پایگاه اطلاعاتی زمین‌لغزش می‌باشد.

## ۲- مواد و روش

### ۱-۱- منطقه مورد مطالعه

شهرستان خلخال در جنوب استان اردبیل واقع شده است و مرکز آن شهر خلخال است. این شهرستان یک منطقه کوهستانی است که ارتفاع آن از سریع به غرب و از شمال به جنوب کاهش می‌یابد و از لحاظ آب و هوای دارای تابستان‌های معتدل و زمستان‌های سرد است. منطقه مورد مطالعه در این پژوهش حوضه آبریز شاهرود چایی می‌باشد که در بخش شاهرود در جنوب شهرستان خلخال واقع گردیده است. رودخانه شاهرود که در بخش شاهرود و به سمت جنوب در جریان است و پس از طی مسیر پر پیچ و خم خود به قزل‌اوزن می‌پیوندد. حوضه آبریز شاهرود

چای با مساحت ۶۸۸ کیلومترمربع، بین "۳۷°۰'۹۴۸ تا ۳۷°۱'۳۴۱" طول و شرقی "۵۰°۵'۲۰۳ تا ۵۰°۴'۳۴۱" عرض شمالی قرار دارد.



شکل ۱- موقعیت جغرافیایی محدوده‌ی مورد مطالعه

## ۲-۲- مشخصات ماهواره‌ها، سنجنده‌ها و تصاویر مورد استفاده

ماهواره ستینل 2A به عنوان سری دوم ماهواره‌های ستینل آژانس فضایی اروپا می‌باشد که در روز ۲۳ ژوئیه سال ۲۰۱۵ از پایگاه آژانس فضایی اروپا در گویان فرانسه توسط موشک وگا پرتاب شد. مدار این ماهواره خورشید آهنگ و قطبی و در ارتفاع ۷۸۶ کیلومتر می‌باشد. منطقه تحت پوشش این ماهواره از عرض ۸۴ درجه شمالی تا ۵۶ درجه جنوبی می‌باشد. ستینل 2A یک سنجنده چند طیفی با ۱۳ باند (بین طول موج‌های ۴۴۳ تا ۲۱۹۰ نانومتر) است. ۴ باند مرئی و مادون‌قرمز نزدیک با قدرت تفکیک مکانی ۱۰ متر، ۶ باند مادون‌قرمز کوتاه با قدرت تفکیک مکانی ۲۰ متر و ۳ باند تصحیح اتمسفری با قدرت تفکیک ۶ متر دارد. پهنه‌ی تصویربرداری این ماهواره ۲۹۰ کیلومتر می‌باشد (فایل متادیتای تصویر ستینل 2A). در این پژوهش داده‌های ماهواره‌ای ستینل 2A برای شناسایی زمین‌لغزش‌ها و همچنین برای برآورد مشخصات طیفی زمین‌لغزش‌ها مانند NDVI و روشنایی مورد استفاده قرار گرفت.

### ۳-۲-پردازش شیءگرای تصاویر ماهواره‌ای

روش طبقه‌بندی شیءگرا به عنوان روشی جامع‌تر در تعریف پدیده‌ها، از هر دو دسته اطلاعات مکانی پیکسل پایه و شیء پایه<sup>۱</sup> در کنار داده‌های طیفی در فرایند طبقه‌بندی استفاده می‌نماید (فیضی‌زاده، ۱۳۹۶). در این روش اطلاعات بسیار زیادی می‌تواند بر اساس اشیاء تصویری استخراج شوند، علاوه بر تن، شکل، بافت، زمینه، از سایر لایه‌های اطلاعاتی اشیاء استفاده می‌شود. استفاده از این اطلاعات منجر به تمایز معنایی بهتر و صحیح‌تر و موجب ایجاد نتایج خاصی می‌شود (راهنمای اکوکنیشن، ۲۰۱۲). همچنین روش طبقه‌بندی شیءگرا به دلیل استفاده از توابع عضویت در ارزیابی پدیده‌ها در کلاس‌ها، جزء روش‌های طبقه‌بندی نرم به شمار می‌رود. مزیتی که طبقه‌بندی شیءگرا نسبت به طبقه‌بندی پیکسل مبنای دارد این است که اشیاء تصویر حاوی اطلاعات بیشتری نسبت به تک‌تک پیکسل‌هاست. چراکه در طبقه‌بندی شیء پایه، علاوه بر اطلاعات طیفی از اطلاعات بافت و محتوا نیز برای طبقه‌بندی استفاده می‌شود (جیمز، ۲۰۰۶).

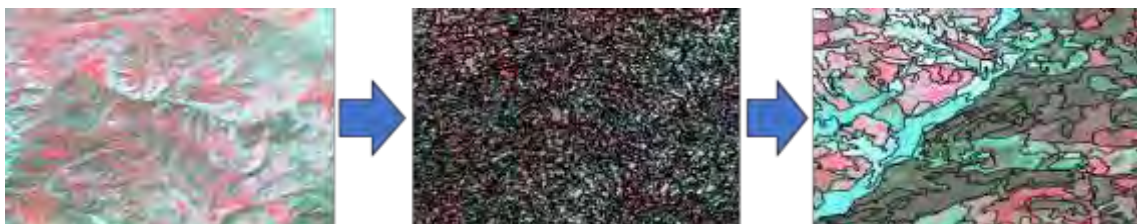
### ۳-۱-سگمنت سازی

یک گام مهم قبل از توصیف ویژگی‌های تشخیصی در عوارض مورد نظر، مانند زمین‌لغزش، ایجاد اشیاء بخش‌هایی است که به‌نهایی یا به‌صورت گروهی، مرز عوارض داده شده را مشخص کند. این کار با استفاده از تقسیم‌بندی تصویر صورت می‌گیرد که شامل روند تقسیم تصویر به اشیاء یا نواحی بر اساس همگنی مقادیر پیکسل است. سگمنت به معنی گروهی از پیکسل‌های همسایه در داخل یک ناحیه است که شباهت (نظیر ارزش عددی و بافت) مهم‌ترین معیار مشترک آن‌هاست (فیضی‌زاده و میر رحیمی، ۲۰۰۷). در پردازش شیءگرا از تصاویر، اشیاء به‌وسیله گروهی از پیکسل‌ها مطابق با معیار همگنی و ناهمگنی شکل می‌گیرند که مهم‌ترین فرایند در پردازش شیءگرای تصاویر محسوب می‌شود. در فرآیند سگمنت سازی مفسر می‌تواند عوامل تفسیر بصری تصاویر ماهواره‌ای شامل، شکل، رنگ و الگو را دخالت دهد. در پژوهش حاضر سگمنت‌سازی با مقیاس ۲۵ و ضرایب شکل و فشردگی به ترتیب ۰، ۴ و ۶ انجام گرفت؛ که در شکل (۲) نتیجه حاصل نمایش داده شده است.

1 Object based

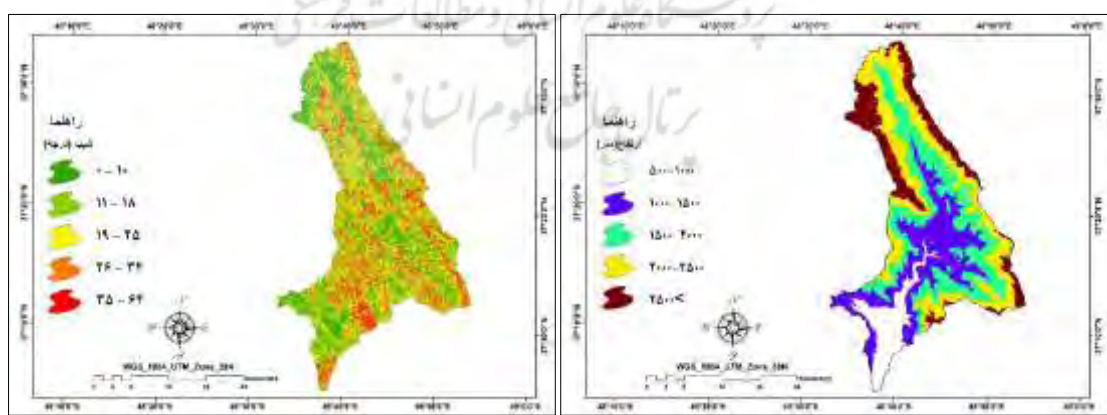
2 Recognitions user guide

3 James



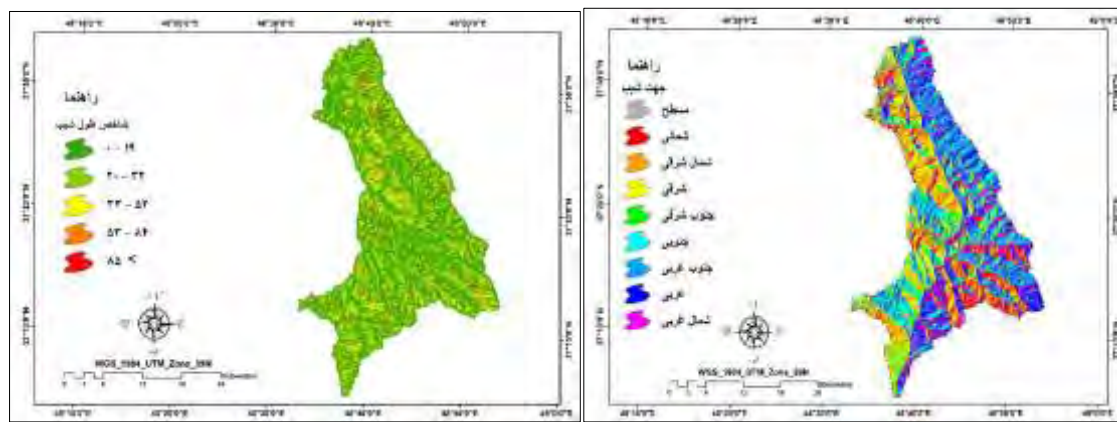
شکل ۲- ایجاد واحدهای پردازش (قطعه‌بندی چند تفکیکی)، مأخذ: نگارندهان

امکان دسترسی به نقشه‌های ریسک و خطر زمین‌لغزش برای شناسایی مناطق بالقوه خسارات زمین‌لغزش و به حداقل رساندن تأثیر اجتماعی آن ضروری است. یکی از اولین گام‌ها برای این منظور، تهیه نقشه حساسیت زمین‌لغزش است، که حساسیت نسبی زمین برای وقوع زمین‌لغزش را نشان می‌دهد و هنگامی که با اطلاعات زمانی ترکیب شود، می‌تواند به نقشه خطر زمین‌لغزش تبدیل شود، که می‌تواند به همراه عناصر اطلاعات خطر برای برآورد خسارات بالقوه زمین‌لغزش در آینده مورد استفاده قرار گیرد، و به مدیریت بلندمدت احتمال وقوع زمین‌لغزش در مناطق کوهستانی کمک کند. به همین منظور در این تحقیق، در کنار پردازش شیءگرای تصاویر ماهواره‌ای در راستای استخراج زمین‌لغزش‌های موجود در منطقه، از روش‌های تحلیل شبکه (ANP) نیز برای پهنه‌بندی منطقه موردمطالعه از نظر پتانسیل وقوع خطر زمین‌لغزش استفاده گردید. جهت انجام این مدل ۱۱ فاکتور مهم ازجمله؛ ارتفاع، شیب، جهت شیب، فاصله از گسل، فاصله از رودخانه، فاصله از جاده، کاربری اراضی، لیتوژئی، شاخص طول شیب (Ls)، شاخص رطوبت توپوگرافیک (TWI) و شاخص قدرت آبراهه‌ای (SPI) بکار برده شد. لازم به ذکر است که لایه‌های طول شیب، شاخص رطوبت توپوگرافیک و شاخص قدرت آبراهه‌ای در محیط متن باز SAGA GIS به صورت خودکار از روی لایه رقومی ارتفاع به دست آمده است. شکل‌های ۳ تا ۱۴ این فاکتورها را نشان می‌دهد.



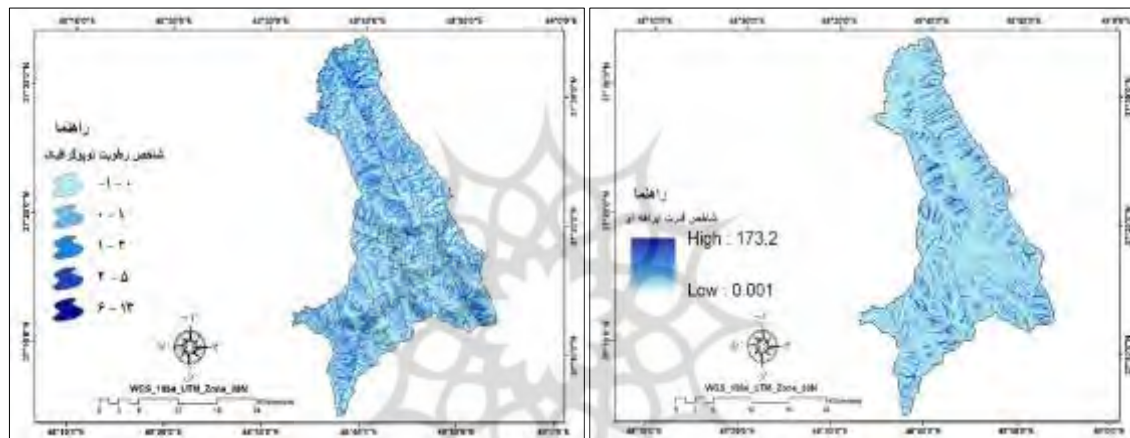
۴-طبقات شیب منطقه

شکل ۳- طبقات ارتفاعی منطقه شکل



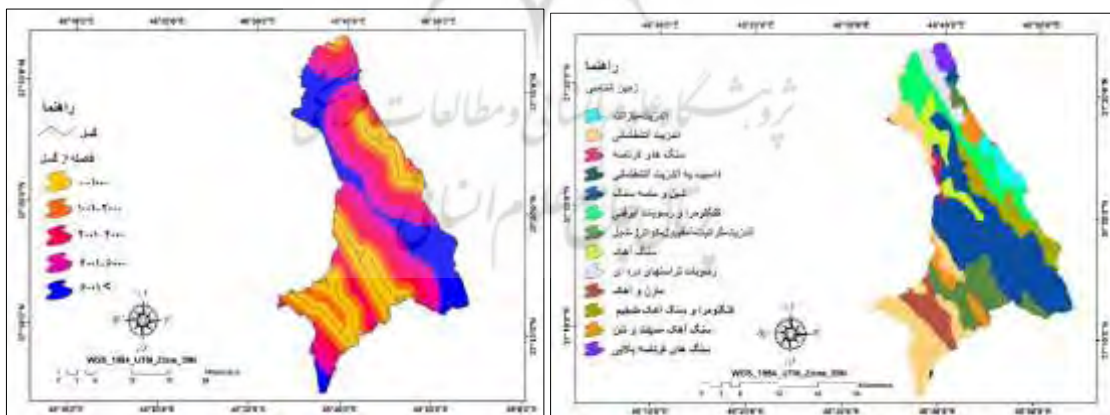
شکل ۶- شاخص طول شیب

شکل ۵- جهات شیب در منطقه شکل



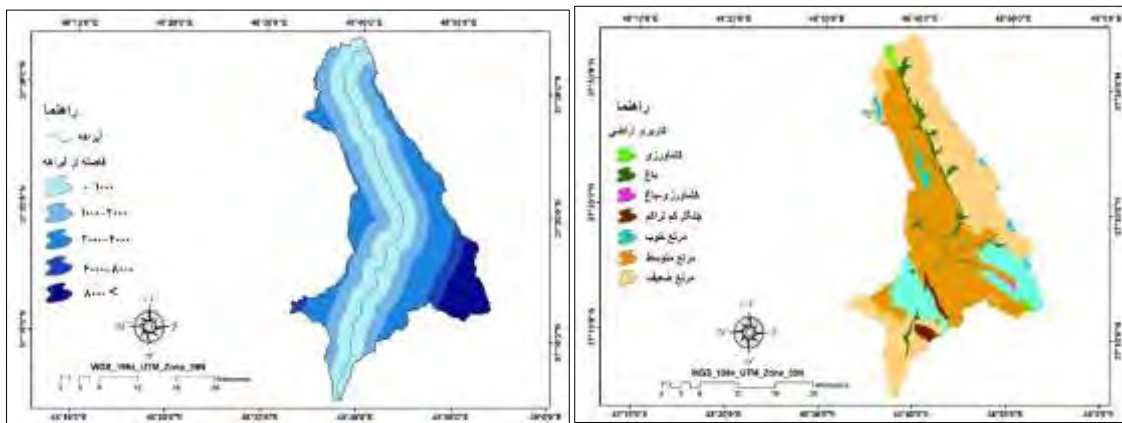
شکل ۸- شاخص رطوبت توپوگرافیک

شکل ۷- شاخص قدرت آبراهه‌ای



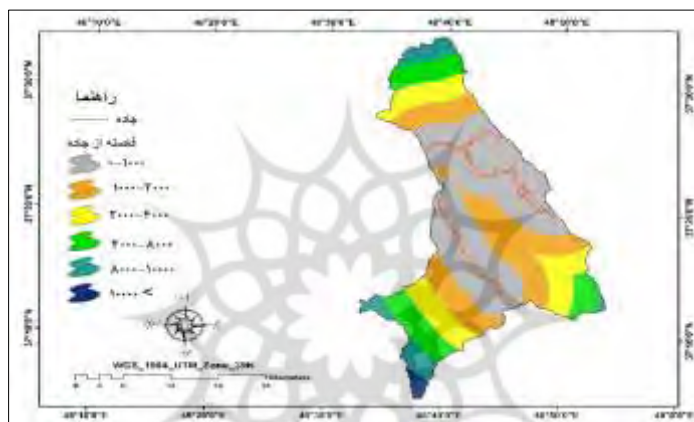
شکل ۱۰- فاصله از گسل

شکل ۹- زمین‌شناسی منطقه مطالعه



شکل ۱۲- فاصله از آبراهه‌ها

شکل ۱۱- کاربری اراضی منطقه شکل



شکل ۱۳- فاصله از جاده‌ها

#### ۲-۴- مدل تحلیل شبکه (ANP)

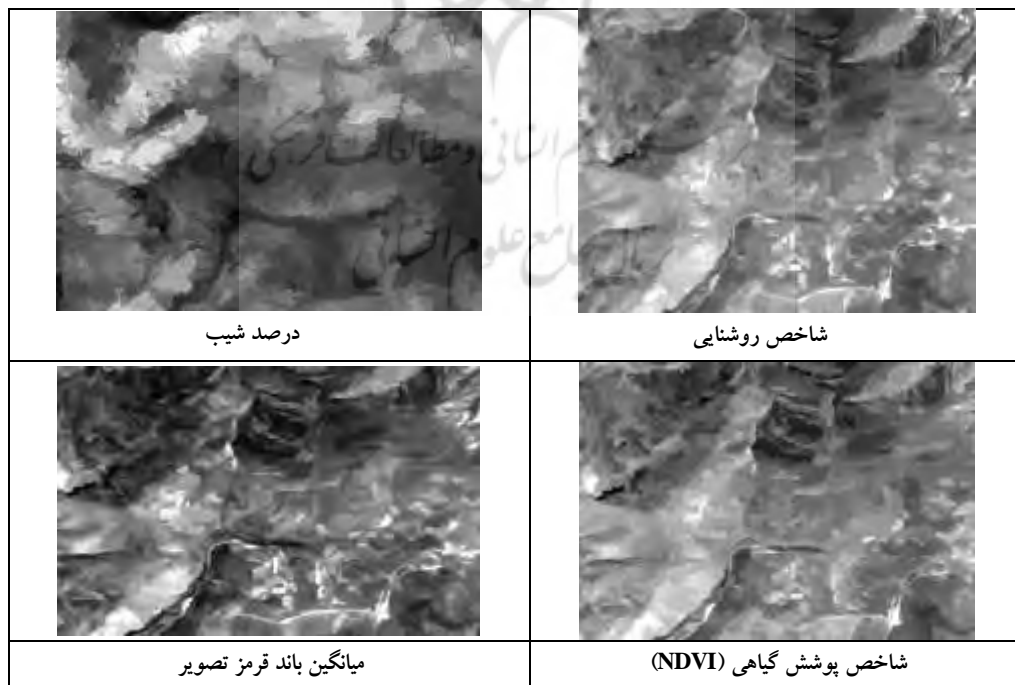
فرایند تحلیل شبکه‌ای یکی از جدیدترین تکنیک‌های تصمیم‌گیری چندمعیاره است که بهوسیله پرسور ساعتی ارائه شده است. این مدل بر مبنای فرایند تحلیل سلسله مراتبی طراحی شده است و شبکه را جایگزین سلسله مراتب کرده است (فرجی سبکبار و همکاران، ۱۳۸۹: ۱۳۱). روش ANP دارای سه قسمت است: بخش اول، سلسله مراتب کنترل برای شبکه معیارها و زیرمعیارها، بخش دوم شبکه‌ای از روابط میان عناصر و خوشه‌ها و بخش سوم بازخورد بین خوشه‌های مختلف و عناصر داخل یک خوشه است (ایحسان و متین، ۲۰۰۷).

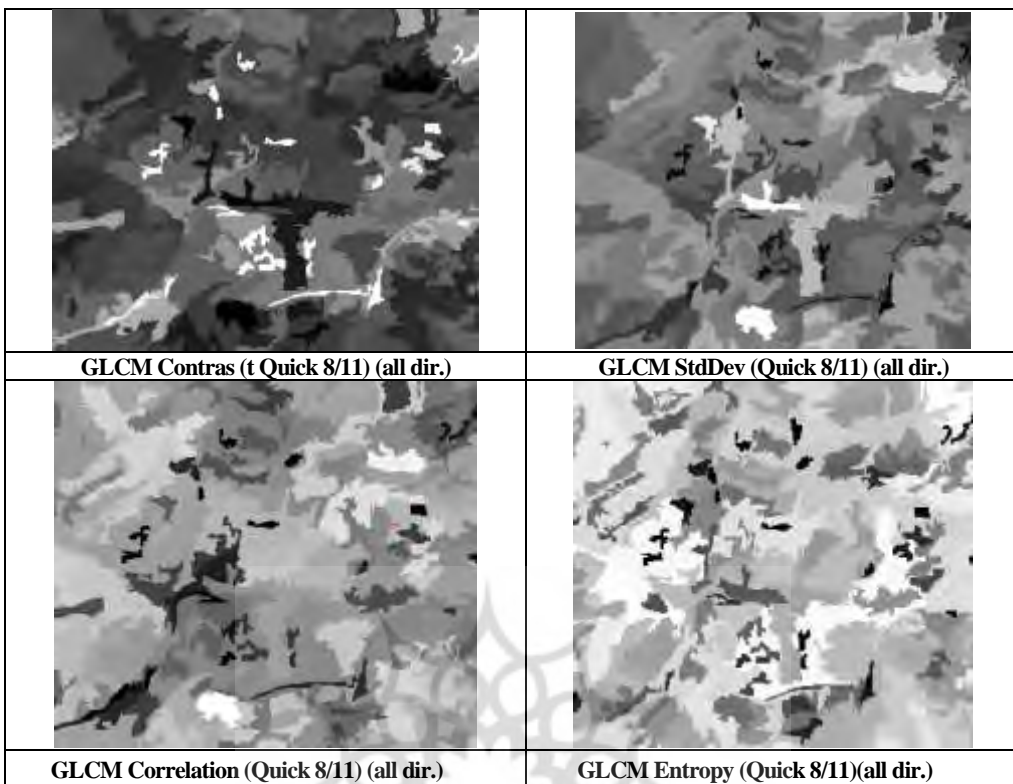


شکل ۱۴- فرآیند تحلیل شبکه

### ۳-نتایج و بحث

در پژوهش حاضر از توابع مختلف و قابلیت‌های متنوع تکنیک‌های OBIA جهت استخراج مناطق مستعد زمین‌لغزش با دقت بالا استفاده شده است؛ از جمله این توابع می‌توان به اطلاعاتی بافی (GLCM)، میانگین باندهای تصویر، شاخص روشناهی، شاخص پوشش گیاهی (NDVI)، شیب، ارتفاع و سایر اطلاعات اشاره کرد. نتایج حاصل از اعمال برخی از این توابع به صورت موردنی در شکل شماره ۳ نمایش داده شده است. لازم به ذکر است که در این پژوهش از نرم‌افزار eCognition استفاده شده است.





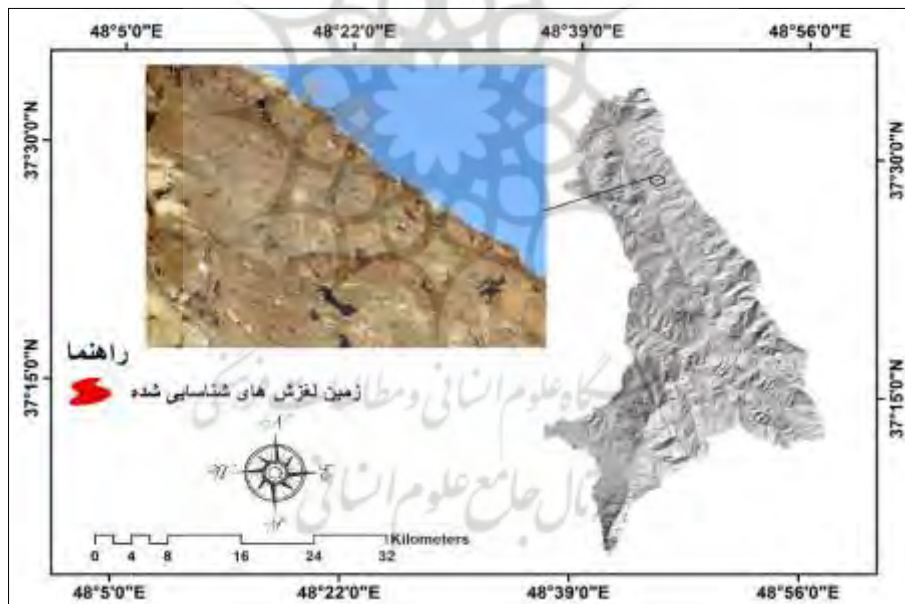
شکل ۱۵ - نتایج برخی توابع اعمال شده بر روی تصویر

جهت مشخص نمودن زمین‌لغزش‌ها از پارامترهای مانند: NDVI، بافت (GLCM)، روشنایی (Brightness)، شب، جهت جریان، ضریب انحنای زمین و شبکه جریان به‌طور خودکار با استفاده از الگوریتم‌های موجود در نرم‌افزار و پردازش تصویر استفاده شد. با توجه به اینکه مناطق وقوع زمین‌لغزش با تن روش‌تری و با پوشش گیاهی کمتر در روی تصاویر ماهواره‌ای ظاهر می‌شوند، شاخص‌های روشنایی و پوشش گیاهی (NDVI) جزء معیارهای مناسب جهت شناسایی زمین‌لغزش‌ها می‌توانند مطرح باشند و از طرفی یکی دیگر از پارامترهای مهم در تشخیص و شناسایی زمین‌لغزش‌ها، استفاده از ویژگی‌های بافتی می‌باشد که این قابلیت مهم نیز در نرم‌افزار eCognition تحت الگوریتم با نام GLCM مطرح است. مشخصات بافت جهت بررسی بافت اشیاء تصویری استفاده می‌شوند و مشخصاتی را شامل می‌شوند که بر اساس تجزیه تحلیل زیر اشیاء (اشیاء فرعی) برای بررسی داده‌هایی با دقت بالا برای بافت مفید است. GLCM (ماتریس هم رخداد سطوح خاکستری) عبارت است از چگونگی ترکیب‌های مختلف از سطوح خاکستری پیکسل که در یک صحنه رخ می‌دهد. ماتریس‌های هم رخدادی مختلفی برای هر ارتباط فضایی وجود دارد. در پژوهش حاضر جهت شناسایی و استخراج زمین‌لغزش‌ها در منطقه مورد مطالعه،

شاخص‌ها و معیارهای مختلفی استفاده گردید. این معیارها و الگوریتم‌های مناسب جهت استخراج زمین‌لغزش‌ها، مطابق جدول ۱ به دست آمد.

**جدول ۱- معیارها و الگوریتم‌های مناسب جهت استخراج زمین‌لغزش‌ها**

آستانه	شاخص
<۱,۰	پوشش گیاهی (NDVI)
>۳۴۲	روشنایی (Brightness)
>۰,۵۷	GLCM Correlation (Quick 8/11) (all dir.)
>۳۶۱	GLCM Contras (t Quick 8/11) (all dir.)
>۸	GLCM Entropy (Quick 8/11)(all dir.)
>۴,۷۵	GLCM StdDev (Quick 8/11) (all dir.)
<۲۶۰۰ و >۱۳۷۰	ارتفاع
>/٪ ۰,۲۸	درصد شیب



**شکل ۱۶- زمین‌لغزش‌های شناسایی شده با روش شیء‌گرا در محدوده مورد مطالعه**

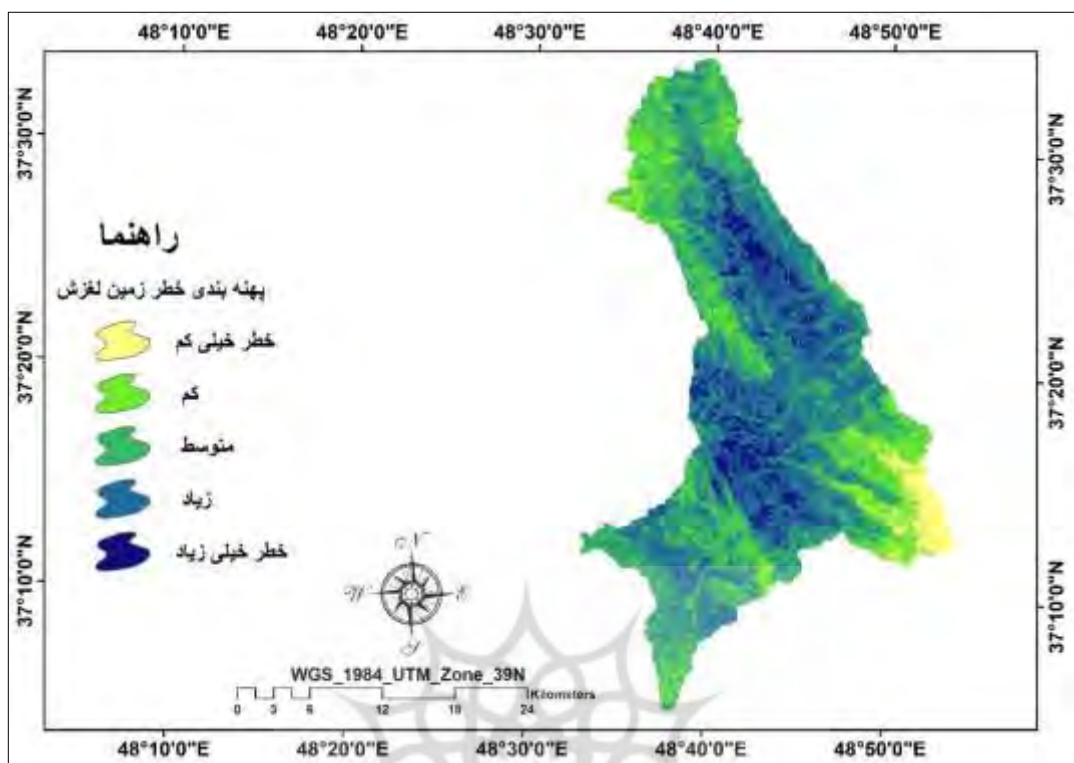
با پردازش شیء‌گرای تصویر ماهواره‌ای ستینل 2A تعداد ۸۱ زمین‌لغزش در منطقه شناسایی گردید که نسبت به زمین‌لغزش‌های ثبت شده (۷۳ زمین‌لغزش) در این منطقه، تعداد ۸ زمین‌لغزش بیشتر استخراج گردیده است. علاوه بر این از مجموع ۸۱ زمین‌لغزش، بیش از ۶۸ زمین‌لغزش (معادل ۸۳ درصد) شناسایی شده با روش شیء‌گرا برابر با ۹۳

در صد زمین‌لغزش‌های ثبت شده مربوط به منطقه مطابقت کامل دارند که نشان‌دهنده دقیق بالای پردازش شیء‌گرای تصاویر ماهواره‌ای در شناسایی زمین‌لغزش‌ها می‌باشد. در ادامه برای اجرای مدل ANP ابتدا بر اساس ماهیت داده‌ها و ارتباطات موجود بین آنها، پارامترها در چهار خوشۀ اصلی ۱(پارامترهای اقلیمی و هیدرولوژیکی ۲) پارامترهای زمین‌شناسی ۳) پارامترهای انسانی و پوشش زمین و درنهایت ۴ پارامترهای ژئومورفولوژیکی دسته‌بندی شدند. در ادامه با مشخص شدن خوشۀ ها، ساختار شبکه‌ای بین خوشۀ ها و پارامترهای در نظر گرفته شده تشکیل شد؛ و درنهایت پس از محاسبه و تشکیل سوپرماتریس‌ها، وزن نهایی هر یک از پارامترها به دست می‌آید. بر اساس جدول شماره (۲)، لایه فاصله از گسل با ۰/۱۸۴ و شیب با ۰/۱۵۰ بیشترین ضریب تأثیر را در پهنه‌بندی پتانسیل زمین‌لغزش دارند. در مقابل لایه‌های رقومی ارتفاع با ۰/۰۳۲۱ و فاصله از جاده با ۰/۰۲۱۴۴ کمترین ضریب تأثیر را دارا هستند.

جدول ۲- جدول پارامترها وزن هر یک از کلاس‌ها بر اساس تحلیل شبکه

Alternatives	Raw	Normal	Ideal	Ranking
Aspect	۰/۰۲۷	۰/۰۴۷	۰/۲۷	۹
distance to river	۰/۰۲۳	۰/۰۷۳۷	۰/۲۶۴	۷
distance to road	۰/۰۱۸	۰/۰۲۱۴۴	۰/۱۳۲	۱۱
distance to fault	۰/۰۷۴۱۲	۰/۱۸۴۲	۱	۱
land use	۰/۰۴۱۸	۰/۱۰۳۵	۰/۵۰۵۸	۴
Lithology	۰/۰۶۲۵	۰/۱۳۸	۰/۷۷	۳
Slope	۰/۰۶۰۲۶	۰/۱۵۰۵	۰/۸۳۴۹	۲
DEM	۰/۰۲۱	۰/۰۳۲۱	۰/۲۵۳۶	۱۰
SPI	۰/۰۴۷۵	۰/۰۹۵۷	۰/۵۷۱	۵
LS	۰/۰۴۵۳	۰/۰۸۸۱	۰/۵۳۲۶	۶
TWI	۰/۰۲۳۵۲	۰/۰۶۵۷	۰/۲۶۸۷	۸

سپس با استفاده از ضرایب به دست آمده، اقدام به تهیه نقشه پهنه‌بندی زمین‌لغزش بر اساس مدل تحلیل شبکه‌ای گردید. بدین منظور ابتدا در محیط Arc Gis لایه‌های اطلاعاتی که از قبل تهیه و رقومی شده بودند به فرمت Raster تبدیل گردیده و سپس طبقه‌بندی مجدد شدند و نهایتاً ضرایب به دست آمده از مدل تحلیل شبکه‌ای ANP با استفاده از تابع Weighted Overlay اعمال گشته و نقشه نهایی پهنه‌بندی زمین‌لغزش به دست آمد. نقشه به دست آمده در پنج کلاس خطر خیلی کم، خطر کم، متوسط، زیاد و خطر خیلی زیاد طبقه‌بندی شد. شکل ۱۷ نقشه پهنه‌بندی زمین‌لغزش را نشان می‌دهد.



شکل ۱۷- نقشه نهایی پهنه‌بندی حساسیت وقوع زمین‌لغزش به روش تحلیل شبکه (ANP)

جدول ۳- درصد مساحت پهنه‌های لغزشی در حوضه آذرشهر چای با استفاده از فرآیند تحلیل شبکه‌ای

کلاس زمین‌لغزش	مساحت به Km <sup>2</sup>	مساحت به درصد
خطر خیلی کم	۲۴/۸۵۴	۳/۶۳
کم	۸۲/۸۹۶	۱۲/۱۳
متوسط	۲۶۲/۸۱۵	۳۸/۴۶
زیاد	۲۶۷/۳۷۹	۳۹/۱۳
خطر خیلی زیاد	۴۵۸۳۲۶	۳۹/۱۳
مجموع	۶۸۳/۲۷۳	۱۰۰

### ۳-۱- ارزیابی دقت

دقت طبقه‌بندی بیانگر سطح اعتماد به نقشه استخراج شده بوده، در نقشه‌های کاربری اراضی به دست آمده از تصاویر سنجش از دور بایستی حداقل ۸۵ درصد باشد. در این مرحله از پژوهش، برای کسب اطمینان از صحت طبقه‌بندی انجام شده اقدام به ارزیابی دقت طبقه‌بندی کرد و در طی عملیات میدانی به‌طور تصادفی نقاط کنترل با GPS از سطح منطقه برداشت شده تعداد ۴۹ نقطه مرجع (برداشت زمینی) و پارامترهای ارزیابی دقت طبقه‌بندی

ضرایب آماری کاپا و دقت کلی طبقه‌بندی استخراج شد. در این پژوهش مقادیر ضریب کاپا و دقت کلی به ترتیب  $0,946$  و  $0,913$  به دست آمد که نشان‌دهنده دقت بالای تکنیک‌های شیء‌گرا در شناسایی و استخراج زمین‌لغزش‌ها می‌باشد. جدول (۴) مشخصات زمین‌لغزش‌های شناسایی‌شده و مطابقت آن با نقشه نهایی پهنه‌بندی زمین‌لغزش را نشان می‌دهد.

**جدول ۴- مشخصات زمین‌لغزش‌های شناسایی‌شده و مطابقت آن با نقشه نهایی پهنه‌بندی زمین‌لغزش در منطقه**

پتانسیل خطر وقوع زمین‌لغزش	تعداد زمین‌لغزش	درصد زمین‌لغزش	مساحت زمین‌لغزش به هکتار
خطر خیلی کم	۱	۱/۲۳	۵/۴۶
خطر کم	۶	۷/۴	۲۱/۶۹
متوسط	۲۴	۲۹/۶۲	۱۲۹/۳
زیاد	۳۵	۴۳/۲	۱۹۲/۲۱
خیلی زیاد	۱۵	۱۸/۰۱	۴۰/۰۶
مجموع	۸۱	۱۰۰	۳۸۸/۷۲

امروزه، تصاویر حاصله از سنجش‌از دور جدیدترین اطلاعات در جهت مطالعه رخدادهای روی زمین شناخته شده است. در این تحقیق تصویر ماهواره سنتیل با قدرت تفکیک مکانی  $10$  متر، به‌منظور شناسایی زمین‌لغزش‌ها (در حوضه آبریز شاهرود چایی)، با دقت‌های بالاتر کلاس‌بندی، به روش شیء‌گرا در محیط نرم‌افزار eCognition ۹,۱ مورد پردازش قرار گرفتند. مناطق آسیب‌دیده از زمین‌لغزش‌ها، در یک تصویر با روشنایی بیشتری ظاهر می‌گردند. این ویژگی در زمین‌لغزش تازه رخداده، توسط داده‌های سنجش‌از دور به خوبی ثبت شده و به عنوان اولین معیار برای تشخیص تفسیر بصری تصویر استفاده می‌گردد. این تغییرات پوشش زمین را می‌توان بر حسب NDVI، بهتر نشان داد که دارای سطوح پایین پوشش گیاهی است؛ بنابراین، NDVI به عنوان یکی دیگر از معیارها برای شناسایی مناطق مستعد زمین‌لغزش و جدا کردن آن‌ها از سایر مناطق مانند زمین جنگل، باغ و زمین مخصوص استفاده گردد. عوامل ناپایداری با سهم متفاوت در وقوع حرکات توده‌ای، به خصوص در وقوع زمین‌لغزش‌ها نقش دارند. نقش هرکدام از عوامل یاد شده با توجه به شرایط توپوگرافی، زمین‌شناسی و فعالیت‌های انسانی کاملاً متفاوت است. توپوگرافی نقش مهمی در میزان دسترسی افق‌های خاک به رطوبت دارد و روی میزان نفوذ آب و سرعت رواناب و حالت اشباع یا غیر اشباع بودن لایه‌های خاک تأثیر می‌گذارد. بیشتر حرکات دامنه‌ای در شیب‌های بالای  $7$  درصد در ارتفاعات بالای  $1370$  متر رخ داده است، به نظر می‌رسد در شیب‌های کمتر از  $7$  درصد و ارتفاعات کمتر از  $1370$  متر به دلیل کاهش تأثیر نیروی جاذبه بر دامنه‌ها و در شیب‌های بیشتر از  $28$  درصد و در ارتفاعات بیشتر از  $2600$  متر به دلیل تضعیف فرایند خاک‌زایی به‌تبع آن عدم وجود مواد مستعد برای وقوع لغزش احتمال آن کاهش می‌یابد.

همچنین وجود جاده و رودخانه نقش افزایشی در وقوع زمین‌لغزش‌های منطقه داشته‌اند، به این دلیل که جاده‌سازی در دامنه‌های با شیب تندتر (بیش از ۱۵ درصد) به دلیل زیربری ناهمواری‌ها و رودخانه به دلیل فراهم کردن رطوبت کافی و افزایش قدرت تخریبی و فرسایش باعث کاهش پایداری دامنه‌ها شده و وقوع زمین‌لغزش را تسهیل می‌بخشد. همچنین ساختارهای زمین‌شناسی بهویژه گسل‌ها در شکل‌گیری و وقوع زمین‌لغزش‌ها نقش اساسی دارند. در اغلب موارد در کنار هر زمین‌لغزش و یا با فاصله کمی از توده لغزنده گسلی قرار دارد که ورود آب را به درون توده دارای پتانسیل لغزش تسهیل می‌کند. لازم به ذکر است که شاخص‌های پوشش گیاهی NDVI و شاخص روشنایی (Brightness) اهمیت بیشتری در شناسایی مناطق مستعد زمین‌لغزش دارند.

#### ۴-جمع‌بندی

با مروری بر تحقیقات قبلی و مقایسه‌ی نتایج آن‌ها با یافته‌های پژوهش حاضر می‌توان دریافت که تحلیل‌های صورت گرفته و خروجی حاصل از این مقاله، نشان‌دهنده‌ی توانایی و کارایی بسیار زیاد تکنیک‌های شیء‌گرا تصاویر ماهواره‌ای در استخراج زمین‌لغزش‌های منطقه مورد نظر می‌باشد. با استفاده از تکنیک شیء‌گرا زمین‌لغزش‌های رخداده در منطقه با دقت ۹۴ درصد و ضریب کاپای ۹۱ درصد شناسایی گردیدند. این دقت بالا بیشتر به این دلیل است که در این روش، علاوه بر استفاده از اطلاعات طیفی، از اطلاعات مربوط به محتوا، شکل، بافت و تن نیز برای طبقه‌بندی استفاده می‌شود؛ بنابراین با بهره‌گیری از اطلاعاتی غیر از ارزش‌های عددی در طبقه‌بندی تصاویر، موجبات افزایش دقت طبقه‌بندی می‌شود. نتایج این تحقیق با نتایج حاصله از پژوهش‌های صورت پذیرفته‌شده توسط فیضی زاده و بلاشکا (۲۰۱۳)، مارتا و همکاران (۲۰۱۰)، هوبلینگ و همکاران (۲۰۱۵) که همگی بر کارایی و توانایی بالای تکنیک پردازش شیء‌گرا در استخراج و آشکارسازی زمین‌لغزش‌های یک منطقه تأکید داشته‌اند، مطابقت دارد؛ و در ادامه کار جهت پهنه‌بندی منطقه موردمطالعه از نظر خطر وقوع زمین‌لغزش مدل تحلیل شبکه (ANP) مورد استفاده قرار گرفت. بر اساس نقشه تهیه شده بخش‌های مرکزی منطقه موردمطالعه از نظر وقوع زمین‌لغزش بیشترین پتانسیل وقوع زمین‌لغزش را دارد. با توجه به اطلاعات جدول شماره ۳، ۳۹/۱۳ درصد از اراضی محدوده موردمطالعه به عنوان منطقه‌ای با پتانسیل خیلی زیاد برای وقوع زمین‌لغزش در نظر گرفته شده‌اند. از طرفی بررسی نتایج به دست آمده نشان داد که در مجموع تعداد ۸۱ زمین‌لغزش در منطقه موردمطالعه با استفاده از روش پردازش شیء‌گرای تصاویر ماهواره‌ای استخراج گردید که از این تعداد ۶۸ مورد با زمین‌لغزش‌های ثبت شده مطابقت کامل داشتند که نشان از دقت بالای پردازش شیء‌گرا در استخراج و شناسایی زمین‌لغزش‌ها می‌باشد و در ادامه مطابق جدول (۴)، مشاهده می‌گردد که از مجموع ۸۱ زمین‌لغزش شناسایی شده، تعداد ۵۰ زمین‌لغزش معمول ۶۱/۷۲ درصد زمین‌لغزش‌های رخداده در پهنه‌های خطر زیاد و خیلی زیاد رخ داده‌اند؛ و این نتیجه نیز دلالت بر کارایی مدل تحلیل شبکه در پهنه‌بندی منطقه موردنظر از نظر وقوع خطر زمین‌لغزش می‌باشد.

### کتابنامه

- روستایی، شهرام؛ علیزاده، راحله؛ ۱۳۹۱. پهنه‌بندی خطر زمین‌لغزش در حوضه صوفی چای (مراغه) با استفاده از روش آنالگان. *فصلنامه علمی-پژوهشی فضای جغرافیایی* ۲۹۱۲. صص. ۳۵-۱۷.
- شادر، صمد؛ ۱۳۸۴. ارزیابی تحلیلی مدل‌های کمی زمین‌لغزش بهمنظور دستیابی به مدلی مناسب برای حوضه آبخیز چالکرود. رساله دکتری تخصصی. دانشگاه تهران. دانشکده جغرافیا. ص. ۲۲۵.
- عابدینی، موسی؛ پیروزی، الناز؛ ۱۳۹۸. پهنه‌بندی خطر زمین‌لغزش با استفاده از تلفیق روش‌های Hot Spot, ANP, WIC (مطالعه موردی: شهرستان خلخال) مجله جغرافیا و مخاطرات محیطی. شماره ۳۲. صص ۳۶-۱۹.
- عابدینی، موسی؛ روستایی، شهرام؛ فتحی، محمدحسین؛ ۱۳۹۷. شناسایی و طبقه‌بندی انواع زمین‌لغزش با استفاده از ویژگی‌های طیفی و مکانی با رویکرد شیء‌گرا (نصیرآباد تا سد ستارخان اهر، نشریه علمی- پژوهشی جغرافیا و برنامه‌ریزی. سال ۲۲. شماره ۶۶. صص ۲۰۵-۱۸۷.
- فرجی سبکبار، حسن علی؛ بدری، سیدعلی؛ مطیعی لنگرودی، سیدحسین؛ شرفی، حجت‌الله؛ ۱۳۸۹. سنجش میزان پایدار نواحی روستایی بر مبنای مدل تحلیل شبکه، با استفاده از تکنیک بردا مطالعه موردی: نواحی روستایی شهرستان فسا. پژوهش‌های جغرافیای انسانی (پژوهش‌های جغرافیایی). دوره ۴۲. شماره. ۷۲. صص ۱۵۵-۱۳۵.
- فیضی زاده، بختیار؛ حاجی میرحیمی، سید محمود؛ ۱۳۸۶. آشکارسازی تغییرات فضای سبز شهر تبریز با استفاده از روش‌های شیء‌گرا.
- فیضی زاده، بختیار؛ ۱۳۹۶. ارزیابی تطبیقی تکنیک‌های پردازش پیکسل پایه و شیء‌گرا در طبقه‌بندی تصاویر ماهواره‌ای Aster برای استخراج نقشه‌های اراضی کشاورزی و باعثی در حاشیه شرقی دریاچه ارومیه. *فصلنامه علمی - پژوهشی اطلاعات جغرافیایی*. دوره ۲۸. شماره ۱۰۹. صص ۱۸۳-۱۶۷.
- مددی، عقیل؛ بهشتی جاوید، ابراهیم؛ آفازاده، نازفر؛ ۱۳۹۸. پهنه‌بندی و ارزیابی پتانسیل وقوع زمین‌لغزش در حوضه آبریز کنديريق چای با استفاده از مدل ANP. نشریه تحقیقات کاربردی علوم جغرافیایی. سال بیست و یکم. شماره ۶۲. پاییز ۱۴۰۰. صص ۲۶۰-۲۴۳.
- معزز، سمیه؛ روستایی، شهرام؛ رحیم‌پور، توحید؛ ۱۳۹۸. پهنه‌بندی خطر وقوع زمین‌لغزش در حوضه آبخیز نهنچای با استفاده از مدل ANP و تکنیک GIS، پژوهش‌های ژئومورفولوژی کمی. سال ۸ شماره ۲۷-۲۲. صص ۲۷-۲۲.
- نادری، فتح‌الله؛ ۱۳۹۸. امکان‌سنجی خطر زمین‌لغزش در حوضه آبخیز کلالرود با استفاده از GIS. *فصلنامه جغرافیایی سرزمین*. سال شانزدهم. شماره ۶۳. صص ۱۴۵-۱۳۲.
- نصیری، شهرام؛ ۱۳۸۳. نگرشی بر زمین‌لغزش‌های ایران (بررسی موردی: ناپایداری شبیه‌ها در جاده هراز). پایگاه ملی نداده‌های علوم زمین کشور. صفحه ۱.
- یمانی، مجتبی؛ احمدبابادی، علی؛ زارع، غلامرضا؛ ۱۳۹۱. به کارگیری الگوریتم ماشین‌های پشتیبان بردار در پهنه‌بندی خطر وقوع زمین‌لغزش (مطالعه موردی: حوضه آبریز درکه). *جغرافیا و مخاطرات محیطی- دانشگاه فردوسی مشهد*. سوم. صص ۱۲۵-۱۴۲.

- Abedi Gheslaghi H., & Feizizadeh B., 2017. An integrated approach of analytical network process and fuzzy based spatial decision making systems applied to landslide risk mapping. Journal of African Earth Sciences 133: 15-24.

Abedini, M., & Tulabi, S., 2018. Assessing LNRF, FR, and AHP models in landslide susceptibility mapping index: a comparative study of Nojian watershed in Lorestan province, Iran. Enviro Earth Sci 77:405. <https://doi.org/10.1007/s12665-018-7524-1>.

Comert, R., Avdan, U., Gorum, T., & Nefeslioglu, H. A. (2019). Mapping of shallow landslides with object-based image analysis from unmanned aerial vehicle data. Engineering Geology, 260, 105264.

eCogniton Developer 2012: Userguide, eCogniton Developer Imaging.

Feizizadeh, B., & Thomas B., 2014. An uncertainty and sensitivity analysis approach for GIS-based multicriteria landslide susceptibility, International Journal of Geographical Information Science, 2014 Vol. 28, No. 3, 610–638, <http://dx.doi.org/10.1080/13658816.2013.869821>.

Guzzetti, F., 2005. Landslide hazard and risk assessment. Ph. D Dissertation, Bonn.

Hölbling, D., Friedl, B., Eisank, C., 2014. Object-based change detection for landslide monitoring based on SPOT imagery. In EGU General Assembly Conference Abstracts, 16(3), 10634.

IaaaYYYYeeeee D~UUUUUUUUHUU aaalyti ttt wrkrreeess((ANiiii TTTTTTTTIIYii – A case study for a textile firm, Information Sciences 177, 3364–3382.

James D, H., Daniel L, C., Martha S, G., Sandy, p., Emily H, W., 2006. Tidal Wetland Classification From Landsat Imagery Using An Integrated Pixel-based and Object-based Classification Approach. ASPRS 2006 Annual Conference Reno, Nevada. May 1-5, 2006.

Martha, T. R., Kerle, N., Jetten, V., van Westen, C. J., Kumar, K. V., 2010. Characterising spectral, spatial and morphometric properties of landslides for semi-automatic detection using object-oriented methods. Geomorphology, 116(1), 24-36.

Roering, J. J., Kirchner, J. W., Dietrich, W. E., 2005. Characterizing structural and lithologic controls on deep-seated landsliding: Implications for topographic relief and landscape evolution in the Oregon Coast Range, USA. Geological Society of America Bulletin, 117(5-6), 654-668.

Sanwei He, S., Pan, P., Dai, L., Wang, H., Liu, J., 2012. Application of kernel-based Fisher discriminant analysis to map landslide susceptibility in the Qinggan River delta, Three Gorges, China. Geomorphology, 171, 30-41.

Yalcin, A., 2011. GIS-based landslide susceptibility mapping using analytical hierarchy process and bivariate statistics in Ardesen (Turkey): comparisons of results and confirmations. Catena, 72(1), 1-12.

Yilmaz, I., 2009. Landslide susceptibility mapping using frequency ratio, logistic regression, artificial neural networks and their comparison: a case study from Kat landslides (Tokat—Turkey). Computers & Geosciences, 35(6), 1125-1138.